

東京都立大学工学部 正会員 小林慶夫
湯浅欽史

1. はじめに

砂の変形や強度の問題を明るかにするための模型実験としては、遠心力試験、また横幅を広くした大型の平面ひずみ試験に多大の努力が払われ、貴重な成果が挙げられている。

これに対して、小型の模型実験は、操作が簡便であるにも拘わらず、利用されることが必ずしも多くない現状にあると思われる。

この原因として、一つは模型実験における相似律の問題と、他の一つは、壁面摩擦の問題があるためと考えられる。ここでは、後者の模型実験における壁面摩擦の影響の問題について若干の考察を試みた。

2. 実験の方法

実験方法の概略を図-1に示した。幅Bが8cmと40cmの二種の装置を用いた。載荷板の高さは共に20cmとした。砂を前回¹⁾と同様にできるだけ等方なるように詰めた。この砂の乾燥重量は $\gamma_d = 1.58 \text{ g/cm}^3$ で、せん断抵抗角は $\phi_s = 44^\circ$ 、残留強度の抵抗角は $\phi_r = 34^\circ$ である。壁面摩擦を除くためのクリスの上に貼りつけた樹脂膜の小片は、前回用いたサランラップよりさらに柔かいものを用いた。斜面を用いて求めたクリスの単位面積あたりの粘着力は、 $C = 5 \text{ g/cm}^2$ であった。今回は載荷板をすべて平行に移動した。砂の変形を調らべるために、図-1に示すように長さ75mm直径2mmの竹棒を砂に埋めてマーカーとした。また、側壁のガラス板がたわまないよう図-1のマーカーの第3列と第4列の間に第7列と第8列の間に鉄板をあてガラス板を補強した。行なった実験を表に示すと次のようになる。

壁面 載荷板 の幅B	クリスで壁面摩擦を 軽減した場合	ガラス板のみの場合
40cm	実験I (○)	実験III (●)
8cm	II (△)	IV (▲)

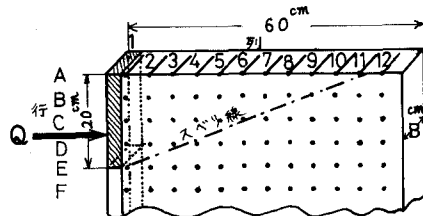


図-1 実験方法の概略図
(平面ひずみ強度試験)

3. 実験の結果

荷重Qと位変量dを載荷板の高さHで除した値 d/H との関係を図-2に示した。摩擦を軽減するクリスを塗らないガラス板のみの場合、壁面摩擦の影響が大きく現われている。また、この場合、破壊するまでの荷重位変量も大きい。

すべり線
は最大荷重
時の前後に
砂の表面に
現われ、徐々に明るか

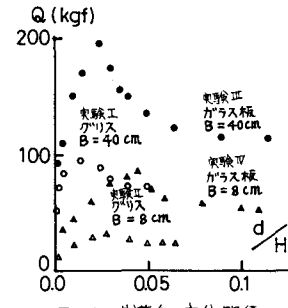


図-2 載荷重～位変関係

なものになった。これを載荷幅B=40cmの場合について、図-3に模式的に示した。ガラス板のみの場合の方が、ここでも壁面摩擦の影響が大きいことがわかる。

ガラス板のたわみは、実験IVの場合を除いて、1/20mm以下である。

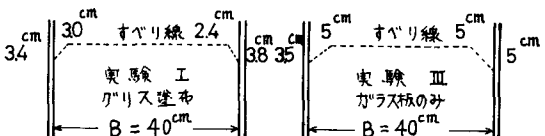


図-3 砂の表面に生じたすべり線の模式図

マーカーの動きを図-1の中の第3列のもののみ、四種の実験について、図-4に示した。变形についてには、強度の場合ほど壁面摩擦の影響は顕著でないよう

であるが、しかし、ガラス板のみの場合に、砂の上方への動きが防げられていることより、この図から読みとれる。

次に実験後、マーカーを掘り出して、壁面摩擦の影響による砂の動きの幅方向への不均一性を調査したが、すべり線が通過しているマーカーを除いては、ガラス面近くと内部との砂の動きに不均一性は目視によつては認められなかつた。

以上の実験の結果より、実験装置の幅を40cm位とつても、ガラス板の摩擦の影響が模型実験における砂の強度と変形に作用することが示された。

4. 砂の模型実験の強度を要素実験より得られた強度定数を用いて算出すること。

クリスを用いて壁面摩擦を軽減した場合、壁面のすべり抵抗 Q_f は、壁面に働く土圧によるすばり一定の値であると考えられる。したがつて、 Q_c は、すべり領域の面積に、クリスの粘着力 C をかければよいので、次式で与えられる。

$$Q_c = \frac{1}{2} H^2 \cot\left(\frac{\pi}{4} - \frac{\alpha}{2}\right) \cdot C \times 2$$

また、破壊時の受働土圧 Q_{fr} は、次式で与えられる。

$$Q_{fr} = \frac{1}{2} \gamma_s H^2 K_{pr} B$$

(ここで、乾燥重量 $\gamma_s = 1.58 \text{ g/cm}^3$ 、載荷板の高さ $H = 20\text{cm}$ 、載荷板の幅 $B = 8\text{cm}$ と 40cm 、受働土圧係数 $K_{pr} = 1/\tan^2\left(\frac{\pi}{4} - \frac{44^\circ}{2}\right) = 5.55$ である。)

残留強度時の受働土圧 Q_{or} は、次式で与えられる。

$$Q_{or} = \frac{1}{2} \gamma_s H^2 K_{pr} B$$

(ここで、 $K_{pr} = 1/\tan^2\left(\frac{\pi}{4} - \frac{35^\circ}{2}\right) = 3.54$ である。)

載荷板に働く全土圧 Q_f (破壊時)と Q_r (残留強度時)は、それぞれ

$$Q_f = Q_{fr} + Q_c ,$$

$$Q_r = Q_{or} + Q_c .$$

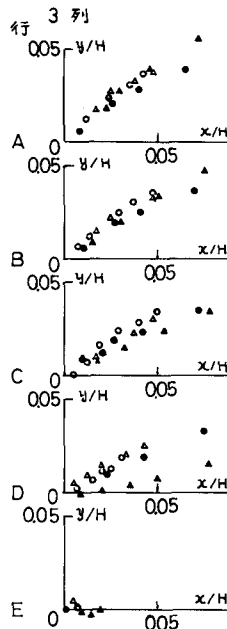


図-4 マーカーの動き

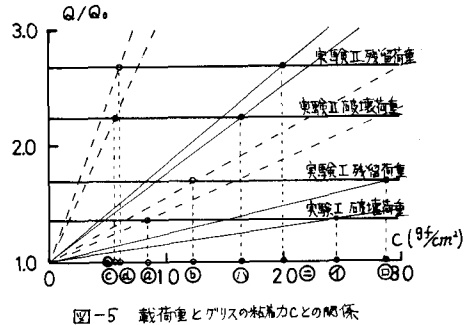


図-5 載荷量とクリスの粘着力Cとの関係

で与えられる。 Q_f/Q_{fr} , Q_r/Q_{or} などに、 Q_r/Q_{or} とクリスの粘着力 C との関係を示したのが、図-5の中の実線である。実験より得られた値を太線で示した。これらの実線と太線の交点から粘着力 C を求めたもののが①, ②, ③, ④である。斜面を用いて求めた粘着力④印の点に較べて大きすぎる値となる。

斜面を用いた粘着力 C の求め方などについても更に検討する必要があるが、一応、上記粘着力 C の値が正しいものとして、上記の相異を解決することを試みた。

すなわち、壁面摩擦が上載荷重と同じように受働土圧に影響していゝものと考えて、この増し方を Q^* として、

$$Q_{fr,r}^* = \frac{1}{2} \times \frac{2C}{B} H^2 K_{pr,r} B$$

がさうに加わると考へて。

これを考慮して得られた受働土圧とクリスの粘着力 C との関係を示したのが図-5の点線である。これより得られる粘着力 C は、点②, ⑥, ⑦, ⑧で示されている。上記の困難は少しが改善された。

次に、 Q_f/Q_{fr} と載荷板の幅 B との関係を示したもののが、図である。点線が Q^* を考慮した場合である。実験値を×印で示した。

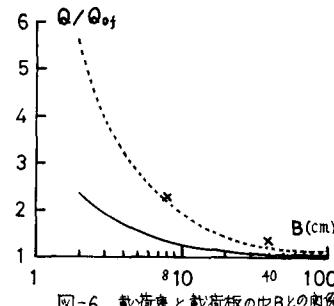


図-6 載荷量と載荷板の幅Bとの関係

末筆ながら、実験を手伝つていただいた本学5.57年度卒論生磯光雄君に記して謝意を表します。

参考文献 1) 小林・湯浅(1982)のナヘリ特集 第37回土木学会講演会